



تقویت قابهای بتن آرمه با استفاده از پوشش‌های CFRP

حمید رضا آقایی، محسن ایزدی نیا، ایمان الیا سیان

۱- کارشناس ارشد سازه، دانشگاه آزاد اسلامی واحد نجف آباد

۲- عضو هیأت علمی دانشگاه آزاد اسلامی واحد نجف آباد

۳- کارشناس ارشد سازه، دانشگاه بیزد

خلاصه

پس از زلزله های اخیر در اکثر نقاط لزه خز جهان کمیته های کاهش بلایای طبیعی و مرکز تحقیقاتی و علمی تهیه کننده آین نامه های زلزله و ساختمنی، بحث طراحی بر اساس عملکرد، بررسی شرایطی و مقاوم سازی و بهسازی لزه ای سازه های موجود و حیاتی را مطرح کردند و اکثر تحقیقات در زمینه مهندسی زلزله و سازه معطوف به مقاوم سازی سازه ها با توجه به عملکرد مورد نظر و اهمیت سازه، زلزله سطح خطر و در نظر گیری مسائل اقتصادی و امکانیزیری می باشد یکی از روشهای تقویت قابهای بتن آرمه استفاده ورقه های FRP است و تحقیقات تجربی و تئوری و آزمایشگاهی امروزه در زمینه میلگردها و پوشش‌های آن در زمینه تقویت اعضای سازه ای در حال انجام است در این میان تحقیق در زمینه قابهای تقویت شده با ورقه FRP محدود است که به آن می پردازیم.

کلمات کلیدی: قاب بتن آرمه - مدل اجزای محدود - ورقه CFRP - تقویت در برابر زلزله.

مقدمه

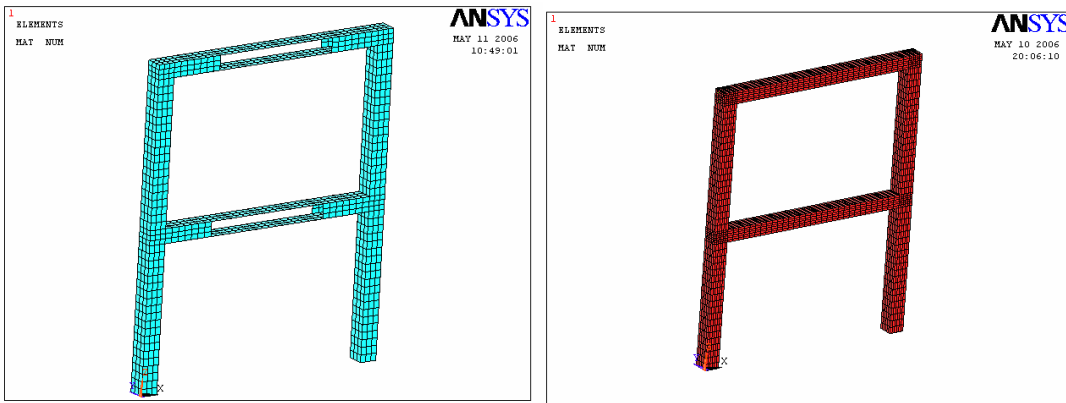
استفاده از فیرهای تقویت شده الیافی (FRP) به صورت نوار یا ورقه برای تقویت سازه های بتن آرمه روشی نوین و کارآمد به دلایل مزایای بی شمار کامپوزیتهاي FRP که در زیر آمده است در حال افزایش است. نسبت مقاومت بالا در مقابل وزن ناچیز ۲- مقاومت در برابر خوردگی ۳- مقاومت در برابر عوامل شیمیایی و محیطی ۴- نفوذپذیری الکترو مغناطیسی ۵- مقاومت در برابر ضربه ۶- ضخامت محدود و اجرای ساده ۷- سطح تمام شده تمیز و ... در این مجال به کاربرد ورقه FRP در تقویت قاب بتن آرمه با اهداف زیر می پردازیم.

متن مقاله

در این مقاله قابهای بتن آرمه یک دهانه و دوطبقه که ابعاد ستون های قاب $35 \times 35 \text{ cm}$ و ابعاد تیرهای قاب $30 \times 35 \text{ cm}$ وارتفاع ستونها 3 m را فوایله مركز تامر کرستونها 5 m متر میباشد تحت بار گذاری های قائم و جانبی قرار می گیرد. بارهای قائم طبق آین نامه بار گذاری مبحث ششم مقررات ملی ساختمان و بارهای جانبی طبق آین نامه 2800 N/m محاسبه شده است.

ابتداً این قاب بدون مدل کردن میلگردهای طولی آنالیز شد. سپس با اضافه کردن میلگردهای طولی تیرها، ستونها و اتصالات قاب تقویت نشده (بدون پوشش CFRP) آنالیز شد. سپس با افزودن الیاف CFRP به مدل جهت تقویت تیرها ستونها و اتصالات قاب تقویت شده آنالیز گردید. در مرحله بعدی مقدار بار جانبی اعمالی به 2 kN برابر مقدار محاسباتی طبق آین نامه 2800 N/m افزایش یافت و تحت این بار گذاری جدید قابهای تقویت نشده و تقویت شده آنالیز گردیدند.

قابل بتن آرمه مورد نظر با استفاده از المان Solid65 مدل شد که شامل ۴ المان ستون ۲ المان تیر و ۴ المان اتصال است، سپس تیرها، ستونها و اتصالات به نحو مناسب مشبندی شدند.



شکل-۱ المانبندی و هندسه قاب بتن آرمه - نحوه تقویت با ورقه FRP

در مرحله بعدی مدل سازی قاب بتن آرمه به این صورت انجام شد که بتن با المان Ssolid65 link ۸ مدل شده است. در این مدل در ستونها از ۸ و ۶ در تیرها از ۲۲ و ۲۰ به صورت سرتاسری استفاده شده است در اتصالات میلگردهای طولی قرار داده شد و سازه با اعمال بار قائم این بار به صورت گام به گام (Step by step) و با سعی و خطأ گامهای بارگذاری جهت همگرایی تحلیل تحت بار قائم به صورت زیر بدست آمد

pressure = ۰,۵ kg / cm ^۲	= ۱۷۵۰ kg/m	گام اول :
pressure = ۰,۷۵ kg / cm ^۲	= ۲۶۲۵ kg/m	گام دوم :
pressure = ۰,۹ kg / cm ^۲	= ۳۱۵۰ kg/m	گام سوم :
pressure = ۱,۱ kg / cm ^۲	= ۳۸۵۰ kg/m	گام چهارم :
pressure = ۱,۲۵ kg / cm ^۲	= ۴۳۷۵ kg/m	گام پنجم :
pressure = ۱,۳۸ kg / cm ^۲	= ۴۷۲۵ kg/m	گام ششم :
pressure = ۱,۴۳ kg / cm ^۲	= ۵۰۰۰ kg/m	گام هفتم :

$$F_y = ۳۰۰۰ \text{ kg} / \text{cm}^2 \quad F_c = ۲۸۷ \text{ kg} / \text{cm}^2$$

معیار شکست ویلیام - رانکل به عنوان معیار شکست بتن در حالت قاب تقویت نشده و تقویت شده که در مدلهای بعدی به آن می پردازیم ، در نظر گرفته شد.

با اعمال این معیار شکست برای قاب تقویت نشده به شرح زیر است :

ضریب انتقال برش برای حالت ترک باز = ۰,۲۴ ضریب انتقال برش برای حالت ترک بسته = ۰,۹۸

$$\frac{1}{10} \text{ مقاومت کششی بتن}^2 \text{ kg/cm}^2 \text{ می باشد}$$

از معیار دارکر - پراگر به دلیل عدم در نظر گیری محصور شدگی بتن و پیچیدگی صرفنظر شده است در آن با مقاومت بتن محصور شده و نشده ، زاویه اصطکاک داخلی و چسبندگی بتن سرو کار داریم.

بارهای زلزله جهت کاهش خطاها عددی و همگرایی بیشتر مساله به دو قسمت تقسیم شده نیمی از آن بصورت فشاری (+) در ابتدای قاب و نیمی دیگر به صورت کششی (-) در طرف دیگر قاب اعمال می شود. اعمال این بار چون بار قائم در حل غیر خطی به صورت گام به گام صورت گرفت.

جدول-۱- بارگذاری اعمالی به قاب

طبقه	گام اول		گام دوم		گام سوم		گام چهارم		گام پنجم		گام ششم		گام هفتم	
دوم	۰,۵ kg/cm ²	۶۱۲,۵ kg	۰,۷	۸۵۷,۵	۰,۹	۱۱۰۲,۵	۱,۱	۱۳۴۷,۵	۱,۲۸	۱۵۶۸	۱,۳۸	۱۶۹۰,۵	۱,۴۳	۱۷۵۰
اول	۰,۲۵	۳۰۶,۳	۰,۳۵	۴۲۸,۸	۰,۴۵	۵۵۱,۳	۰,۵۵	۶۷۳,۷۵	۰,۶۴	۷۸۴	۰,۶۴	۸۴۵,۳	۰,۷۱۵	۸۷۵



جدول ۲- خواص الایاف CFRP

FRP کامپوزیت	مدول الاستیستیه Mpa (ksi)	ضریب پواسون بزرگتر	مقاومت کششی Mpa (ksi)	مدول برشی Mpa (ksi)	ضخامت هر لایه ورقه mm (in)
CFRP	$E_x = 62,000(9000)$ $E_y = 4800(700)$ $E_z = 4800(700)$	$\nu_{xy} = 0.22$ $\nu_{xz} = 0.22$ $\nu_{yz} = 0.3$	۹۵۸(۱۳۸)	$G_{xy} = 3270(474)$ $G_{xz} = 3270(474)$ $G_{yz} = 1860(270)$	۱,۰(۰,۴۰)

بررسی و مقایسه آنالیزها

قاب یک دهانه و دو طبقه را با مقاومتهای بتن پایین تر مورد بررسی قرار دهیم و تغییر مکانها و تنش ها و کرنشهای الاستیک و پلاستیک آنرا بدست می آوریم.

جدول ۳- مقایسه نتایج قاب تقویت نشده با مقاومت های متفاوت بتن

واحد تنشها kg/cm ²	قاب بدون FRP f'c=۲۸۷kg/cm ²		قاب بدون FRP f'c=۱۴۴kg/cm ²	
X displacement	۱,۴۴ cm		۲,۸۹cm	
	کششی Min	فشاری Max	min	max
۱ principal stress	-۹۷	۲۷,۴	-۴۴	۱۹,۲
۲ principal stress	-۱۸۹	۲۱	-۱۱۰	۱۵,۱
۳ principal stress	-۲۴۱,۵	۵	-۱۷۸,۲	۱۱,۲
X stress min&max	-۲۳۶	۳۱,۲	-۱۷۱,۳	۲۲۸
Stress intensity	۰,۸۲۴	۲۵۵,۴	۲	۱۶۳, ۲
X plastic strain	-۰,۵۶۱E-۳	۰,۹۴۱E-۴	-۰,۰۰۳۲	۰,۴۳۲E-۳
Equivalent plastic strain	۰,۱۹۷E-۴	۰,۰۰۲۱	۰,۴۱۶E-۴	۰,۴۳۲E-۲

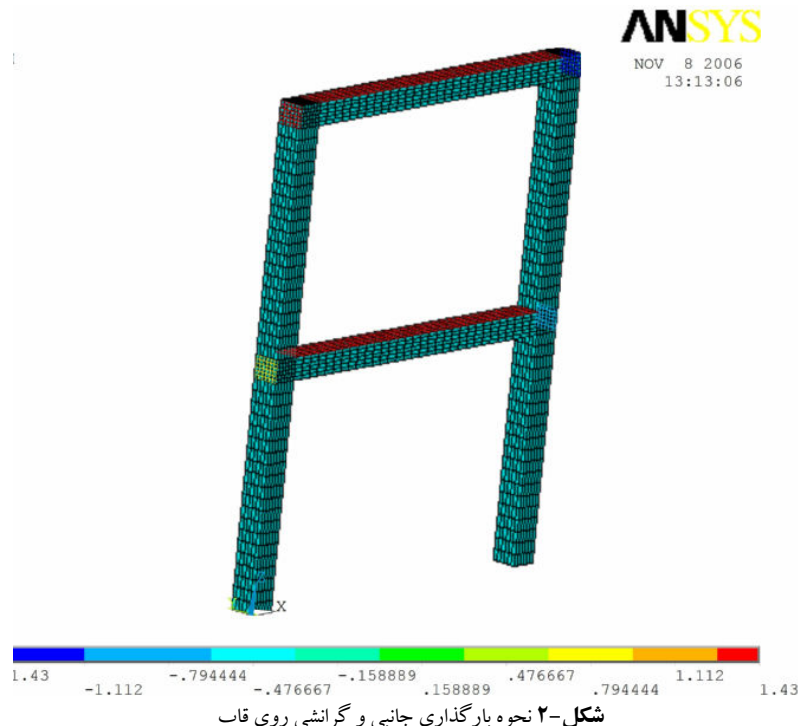
در جدول فوق می بینیم در لحظه گسیختگی نهایی تنش فشاری بتن به مقاومت نهایی نزدیک شده و در برخی از جهات فراتر می رود که نشان دهنده خرد شدگی بتن در آن نواحی است، از طرفی تنشهای منفی کششی از مقاومت کششی بتن بسیار فراتر رفته که نشان دهنده ترک خوردگی در آنجا می باشد. از طرفی قاب با مقاومت نهایی بتن بزرگتر در لحظه گسیختگی تغییر شکل کمتری دارد.

سپس با تقویت این قابها با استفاده از پوشش‌های CFRP و مقایسه نتایج آنها با نمونه های مشابه تقویت نشده به ارائه راهکاری مناسب و بهینه جهت تقویت قابهای بتن آرمه با استفاده از پوشش‌های CFRP در برابر زلزله پردازیم، از طرفی برای جلوگیری از مددگشتگی ترد و ناگهانی debonding ستونها را به صورت کامل دورپیچ و تیرها را ۱/۴ دهانه wrap کامل می نماییم.



جدول ۴ نتایج حاصل از آنالیز قاب تقویت شده

واحد تنشها kg/cm ²	قابل با FRP ۰,۵cm fc=۲۸۷kg/cm ²		۱,۱۱ cm
X displacement	min	max	
۱ principal stress	-۷۴	۲۱,۵	تنش بتن
	-۷۴	۴۴۲,۶	CFRP تنش
۲ principal stress	-۱۹۰	۱۹,۲	تنش بتن
	-۱۹۰	۹۲	CFRP تنش
۳ principal stress	-۲۴۰	۵,۲	تنش بتن
	-۷۳,۹	۵,۲	CFRP تنش
X stress min & max	-۱۹۱,۵	۱۸,۱	تنش بتن
	-۶۷۳	۴۴۲,۶	CFRP تنش
Stress intensity	۲,۸	۲۴۱	تنش بتن
	۵۷,۰	۷۰۸,۱	CFRP تنش
X plastic strain	-۰,۵E-۳	۰,۷۱E-۴	کرنش بتن
Equivalent plastic strain	.	۰,۰۰۲۲۹۳	کرنش بتن



شکل ۲- نحوه بارگذاری جانبی و گرانشی روی قاب



تأثیر ضخامت ورقه : FRP

طبق جدول ۵ می بینید که تأثیر افزایش ضخامت ناچیز است ولی آنچه مسلم است با افزایش ضخامت یا تعداد لایه ها با فرض چسبندگی کامل مقداری از تنش درون بتون کاسته گشته و تنش درون FRP نیز کاسته می شود که در این حالت لایه FRP دیرتر گسیخته می شود.

جدول ۵ مقایسه تأثیر افزایش ضخامت CFRP در قاب تقویت شده

واحد تنشها kg/cm ²	FRP قاب با ۰,۵ سانتیمتر		FRP قاب با ۱ سانتیمتر		FRP قاب با ۱,۵ سانتیمتر		F'c=۱۴۴ kg/cm ²
X displacement	۱,۹۵ cm		۱,۶۵ cm		۱,۴۱ cm		
	Min	max	min	max	min	max	
\ principal stress	-۴۸,۸	۱۸,۹	-۴۹,۸	۱۹,۸	-۵۰,۳	۱۵,۲	تنش بتون
	-۴۸,۸	۴۴۸,۵	-۴۹,۸	۲۲۲	-۵۰,۳	۱۷۷,۶	CFRP تنش
\ principal stress	-۱۱۶,۱	۱۱,۱	-۱۲۱,۷	۱۰,۹	-۱۱۶,۲	۹,۴	تنش بتون
	-۳۴۵,۴	۵۸,۹	-۲۹۶,۸	۴۷,۶	-۲۶۵,۳	۳۸,۶	CFRP تنش
\ principal stress	-۱۶۷,۱	۱۲,۴	-۱۶۳,۸	۱۳,۶	-۱۶۰,۳	۱۱,۱	تنش بتون
	-۱۱۰,۱	۱۲,۴	-۹۱۰,۴	۱۳,۶	-۸۰۶,۲	۱۱,۱	CFRP تنش
X stress min & max	-۱۲۲,۱	۳۳,۱	-۱۱۷,۲	۳۳	-۱۱۵,۴	۲۸	تنش بتون
	-۱۱۰,۱	۴۴۸,۴	-۹۱۰,۳	۲۲۱,۸	-۸۰۵,۹	۱۶۷,۴	CFRP تنش
Stress intensity	۲,۴	۱۵۹	۰,۴۶۲	۱۵۸,۱	۰,۵۲	۱۵۹,۹	تنش بتون
	۱,۶۵	۱۱۱۹	۰,۴۶۲	۱۲۸,۷	۰,۲۷	۸۲۳,۳	CFRP تنش
X plastic strain	-۰,۰۰۱۳۱۲	۰,۳۹۳E-۳	-۰,۰۰۱۱	۰,۳۴۴E-۳	-۰,۰۰۱	۰,۳۰۶E-۳	کرنش بتون
Equivalent plastic strain	.	۰,۰۰۴۲۲۲	۰	۰,۰۰۳۹۵۲	۰	۰,۰۰۳۹۱۷	کرنش بتون

جدول - ۶ بار جانی اعمالی به قاب به میزان ۲ برابر آئین نامه ۲۸۰۰

	گام اول	گام دوم	گام سوم	گام چهارم	گام پنجم	گام ششم	گام هفتم
زیر گامها	۲۰	۲۰	۲۰	۲۵	۲۵	۳۰	۳۰
طبقه دوم	۱	۱,۵	۱,۸	۲,۲	۲,۵۶	۲,۷۶	۲,۸۶
طبقه اول	۰,۵	۰,۷۵	۰,۹	۱,۱	۱,۲۸	۱,۳۸	۱,۴۳



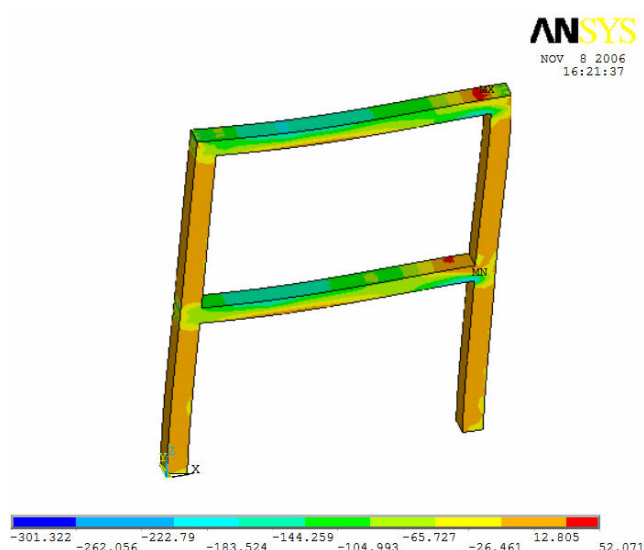
تأثیر مقاومت‌های متفاوت بتن

از مهمترین ضعفهای قاب های بتن آرمه نقص در کیفیت اجرای بتن است که به عوامل متعددی از جمله عدم دقیق نیروی انسانی در تهیه، ساخت و عمل آوری بتن و ماشین آلات و ... بستگی دارد.

جدول ۷ نتایج حاصل از آنالیز قاب تقویت شده تحت بارهای معادل دویباره آئین نامه ۲۸۰۰

واحد تنشها kg/cm²	قاب تقویت نشده		قاب تقویت شده با FRP		F'c=287kg/cm²	
X displacement	۳,۰۹ cm		۲,۳۸cm			
	Min	max	min	Max		
۱ principal stress	-۹۶,۸	۳۱,۳	-۹۴,۸	۲۹,۳	تنش بتن	
	.		۵۹۹,۷	.	CFRP	
۲ principal stress	-۱۸۸	۲۱۶	-۱۸۳	۲۰	تنش بتن	
	.		-۲۹۳,۱	۸۱,۶	CFRP	
۳ principal stress	-۲۵۰,۵	۹,۸	-۲۸۴	۸	تنش بتن	
	.		-۸۴۶,۹	.	CFRP	
X stress min & max	-۲۴۳,۲	۳۰,۹	-۲۷۵	۲۸,۱	تنش بتن	
	.		-۸۴۶,۹	۵۹۹,۷	CFRP	
Stress intensity	۲,۴	۲۸۲	۰,۹۸	۲۶۲	تنش بتن	
	.		.	۸۴۸,۲	CFRP	
X plastic strain	-۰,۰۱۲	۰,۴۶E-۳	-۰,۹۴E-۳	۰,۷۳E-۳	کرنش بتن	
Equivalent plastic strain	۰,۱۵E-۴	۰,۰۰۳۳	۰,۱۶E-۴	۰,۰۰۲۲	کرنش بتن	

تشکیل مفصل پلاستیک در قیر (فلسفه قیر ضعیف- ستون قوی)

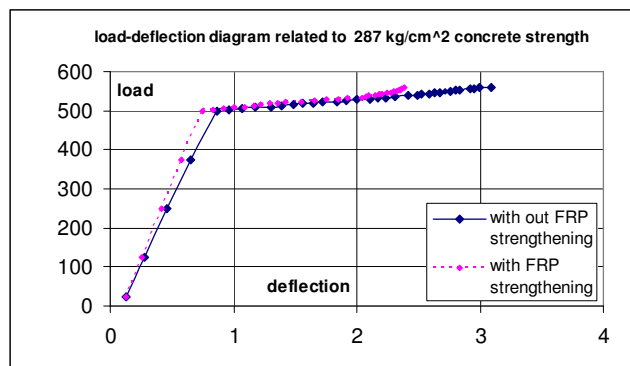


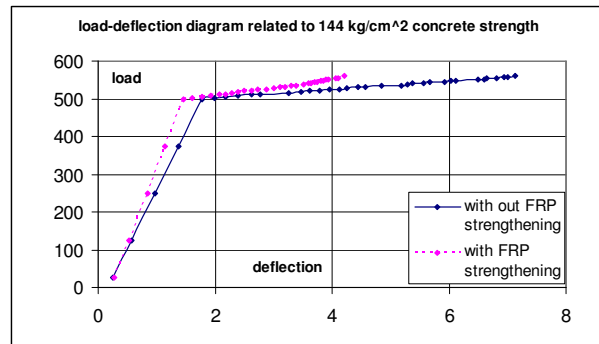
شکل-۳- تنش نهایی ۲۸ روزه بتن 287 kg/cm^2 و بار جانبی ۲ برابر زلزله ۲۸۰۰

kg/cm^2 واحد تنشها	قاب تقویت نشده		قاب تقویت شده با FRP		$F'c = 144 \text{ kg/cm}^2$
X displacement	۷,۱۴ cm		۴,۲۱۳ cm		
۱ principal stress	Min	Max	min	Max	تشن بتن
۲ principal stress	-۴۴,۶	۲۶,۱	-۳۹,۳	۲۵,۶	تشن بتن
			.	۸۴۶,۱	CFRP
۳ principal stress	-۱۰۸,۵	۱۸,۷	-۱۱۴	۲۴,۷	تشن بتن
			-۵۰,۲	۱۶۵,۸	CFRP
X stress min&max	-۱۳۶,۸	۳,۱	-۱۸۷,۵	۴,۳	تشن بتن
			-۱۳۴۴	.	CFRP
Stress intensity	۲,۰۸	۱۳۶,۸	۰,۵۵	۱۶۵,۶	تشن بتن
			۱,۷	۱۳۵۱	CFRP
X plastic strain	-۰,۰۰۶	$0,58E-3$	-۰,۰۰۳۳	۰,۰۰۱۳	کرنش بتن
Equivalent plastic strain	$0,32E-4$	۰,۰۰۶۶	.	۰,۰۰۴۹	کرنش بتن

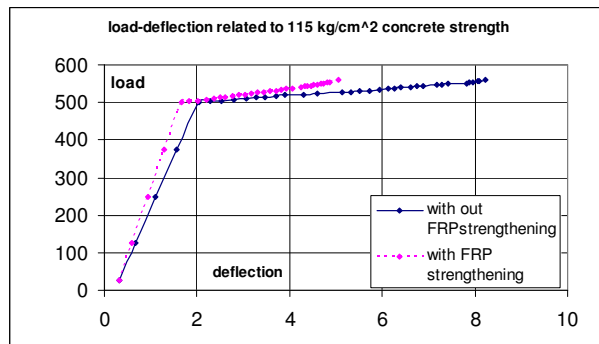
جدول ۸ نتایج حاصل از آنالیز قاب تقویت شده تحت بار جانبی معادل دو برابر آئین نامه ۲۸۰۰

می بینید که بر اثر تقویت تغییر شکل نهایی و تنش فشاری اندکی کاهش می یابد ولی تنش کششی افزایش می یابد به عبارت دیگر امکان ترک خوردنگی در مقطع افزایش می یابد از طرفی ورقه FRP در حالت پاسیو و غیرفعال قرار دارد تازمانی که بتن ترک می خورد و تسلیم آرماتورها آغاز شده و یک باز توزیع داخلی تنش در مقطع رخ می دهد و بخشی از تنش به ورقه FRP انتقال می یابد.

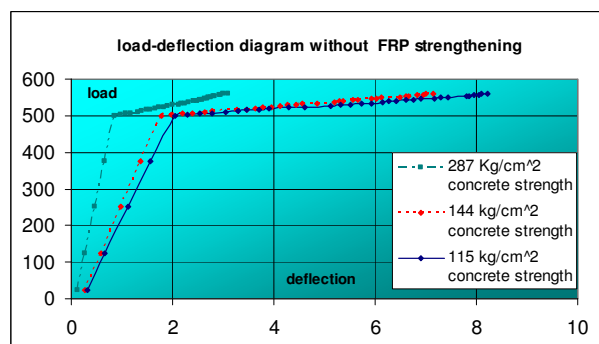
شکل-۴- دیاگرام بار تغییر شکل برای مقاومت بتن 287 kg/cm^2 با زلزله ۲ برابر آئین نامه ۲۸۰۰ در حالت تقویت شده و تقویت نشده با ورقه FRP



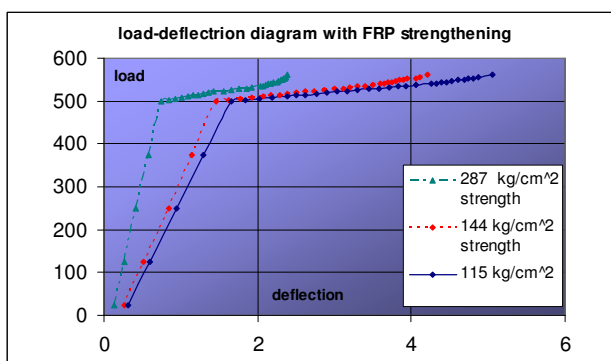
شکل-۵- دیاگرام بار تغییر شکل برای مقاومت بتن 144 kg/cm^2 با زلزله ۲ برابر آین نامه ۲۸۰۰ در حالت تقویت شده و تقویت نشده با ورقه FRP



شکل-۶- دیاگرام بار تغییر شکل برای مقاومت بتن 115 kg/cm^2 با زلزله ۲ برابر آین نامه ۲۸۰۰ در حالت تقویت شده و تقویت نشده با ورقه FRP



شکل-۷- دیاگرام بار تغییر شکل مختلف حالتی مقاومت بتن با زلزله ۲ برابر آین نامه ۲۸۰۰ و در حالت تقویت نشده



شکل-۸- دیاگرام بار تغییر شکل مختلف حالتی مقاومت بتن با زلزله ۲ برابر آین نامه ۲۸۰۰ و در حالت تقویت شده



در اشکال ۴ تا ۸ مشاهده می کنید با افزایش مقاومت بتن چه در حالت تقویت و یا عدم تقویت مقاومت افزایش یافته و تغییر شکل کاهش می یابد باستی توجه داشت که معیار همگرایی جابجایی است و بار به صورت استاتیکی افزاینده یا منو توینیک تا ۲ برابر نیروی جانبی زلزله محاسبه شده با آین نامه ۲۸۰۰ [جدول-۶] در تمامی قابها به صورت ثابت افزایش یافته به این نتیجه می رسیم که حالت تقویت با FRP تغییر شکل نهایی قاب در بار ثابت کاهش می یابد.

جدول ۹ نتایج حاصل از آنالیز قاب تقویت شده تحت بار جانبی معادل دوبرابر آئین نامه ۲۸۰۰

واحد تنشها Kg/cm ²	قاب تقویت نشده		قاب تقویت شده با FRP		F'c=115
X displacement	8,22 cm		5,06 cm		kg/cm ²
	min	max	min	max	
۱ principal stress	-۴۲,۷	۱۱,۸	-۳۲,۹	۱۰,۳	تشن بتن
	.		۹۵۵,۱	۹۵۵,۱	CFRP
۲ principal stress	-۸۷,۷	۵,۴	-۹۶,۷	۸,۳	تشن بتن
	.		-۵۹۷,۲	۲۳۷,۸	CFRP
۳ principal stress	-۱۳۳,۷	۸,۲	-۱۴۱,۶	۴,۲	تشن بتن
	.		-۱۶۸۰	.	CFRP
X stress min&max	-۱۱۴,۲	۱۱,۹	-۱۲۷,۳	۱۰,۱	تشن بتن
	.		-۱۶۸۰	۹۵۳,۹	CFRP
Stress intensity	۴	۱۲۴,۸	۰,۷۱	۱۲۷,۸	تشن بتن
	.		۰,۶۱	۱۶۹۱	CFRP
X plastic strain	-۰,۰۰۷۸	۰,۰۰۳۱	-۰,۰۰۴۴	۰,۰۰۱	کرنش بتن
Equivalent plastic strain	۰,۴۶E-۴	۰,۱۹۴	۰,۴۴E-۴	۰,۰۰۸	کرنش بتن

تأثیر آرایش و الگوی پوشش ستون

زمانی که ورقه FRP را به صورت دور پیچ بکار می بردیم نسبت به حالتی که ورقه FRP را در راستای ستون بکار می بردیم رفتار بهتری در افزایش مقاومت و حتی شکل پذیری دارد (در صورتی که محصور شدگی را لحاظ کنیم و خصوصاً در ستونهای دایروی و بیضوی به دلیل توزیع تنش یکنواخت)



جدول ۱۰- بررسی اثرجهت قرارگیری الیاف در قاب تقویت شده

واحد تنشها $F'c=115\text{kg/cm}^2$	قاب با $5,0$ سانتیمتر FRP ستونها به صورت دور پیچ پوشیده شده	قاب با $5,0$ سانتیمتر FRP در راستای محور ستونها				
X displacement	۲,۳ cm		۲,۵۱ cm			
	min	max	min	max		
۱ principal stress	-۳۹,۷	۱۴,۷	-۳۱	۱۸,۷		
	.	۳۷۷,۸	.	۴۳۳		
۲ principal stress	-۹۶,۳	۶,۳	-۹۳,۴	۸,۷		
	-۴۲۵,۲	۸۶,۲	-۴۷۰	۶۰		
۳ principal stress	-۱۰۲,۷	۱,۷	-۱۴۹,۱	۴,۳		
	-۱۲۸۹	.	-۱۲۷۶	.		
X stress min&max	-۸۰,۲	۱۵,۱	-۹۸,۴	۱۳,۵		
	-۱۲۸۹	۳۷۷,۵	-۱۲۷۶	۴۳۳		
Stress intensity	۱,۷	۱۲۸,۲	۱,۸	۱۳۱,۲		
	۰,۸	۱۳۱۶	۰,۴۳	۱۲۸۳		
X plastic strain	۰,۰۰۱۹	۰,۰۰۰۸	-۰,۰۰۲۶	۰,۰۰۰۶		
Equivalent plastic strain	۰,۰۰۰۲	۰,۰۰۰۷	۰,۰۰۰۲۵	۰,۰۰۰۵		

نتیجه گیری :

۱- جهت تقویت برشی قاب بن آرمه ، تیر ها از سیستم Jacketing و دور پیچ کامل برای جلوگیری از شکست ترد برشی و مودهای مخرب FRP چون Delamination و چون Debonding در دو انتهای تیر که نیروهای برشی حداکثر است و برای تقویت خشمی تیرها از پوشش وجوده بالائی و پائینی تیر و برای تقویت ستونهای چهارگوش و دایروی از روشن Jacketing به دلیل کارایی و تأثیر بیشتر استفاده شود. برای افزایش کارایی تقویت ستونهای مربع ، مستطیل با ژاکت FRP به صورت بیضوی و دایروی انجام شود تا توزیع تنش یکنواخت تر فضای بین بتن با ژاکت با ملات ضد انقباض چون گروت پر شود.

۲- در قابهای بتن آرمه اتصالات باید با ورقه های FRP به طور کامل پوشانده شود تا اثرات خرد شدگی موضعی در اثر بارهای سیکلی ، تمکر تنش و ازدحام آرماتور در ناحیه اتصال و به دنبال آن گسیختگی زود هنگام کاهش یابد.

۳- افزایش ضخامت CFRP چنان تأثیری در تقویت قاب ندارد ولی جهت قرارگیری الیاف در تقویت قاب تأثیر بیشتری دارد و توصیه می شود الیاف در دور پیچ ستون بجای آنکه در راستای آرماتور طولی ستون کارشود در راستای تنگها و مارپیچها بویژه زمانی که در مدل اجزای محدود اثرات محصور شدگی با معیار دراکر- پراگر مدل می شود.



- ۴- با توجه به منحنی های بار- تغییر مکان که برای قابهای تقویت شده و تقویت نشده در مقاومت های متفاوت بتن رسم شده که نشان می دهد پوشش قاب بالایاف CFRP باعث ممانعت از تغییر مکان زیاد قاب تحت بارهای جانبی شده و از گسیختگی و واژگونی سازه جلوگیری می کند.
- ۵- کاهش تغییر مکان جانبی قاب در حالت تقویت شده نسبت به حالت تقویت نشده حداکثر به میزان ۶۲ درصد و کاهش تنشهای اصلی کششی به مقدار حد اکثر ۱۵ درصد می باشد. این پدیده نقش پوشش CFRP را در به تأخیر انداختن ترک خوردگی در بتن رانشان می دهد.

مراجع

- [۱] – J.G.Teng – J.F. Chen – S.T.Smith – L. lam "FRP Strengthened RC Structures" .Published by Wiley - ۲۰۰۲
- [۲] – "ACI ۴۴۰-R-۲۰۰۲ Guide for Design and Construction of Externally Bonded FRP Systems for Strengthening Concrete Structures" – Reported by ACI committee ۴۴.
- [۳] – A.Li; C.Diagana; Y.Delmas - " Shear strengthening effect by bonded composites fabrics on RC beams" - Composites ELSEVIER– December ۲۰۱
- [۴] – Jong-Wha Bai - " Seismic Retrofit for Reinforced Concrete Building Structures" Consequence-Based Engineering (CEB)-Institute Final Report –Texas University- August ۲۰۰۳
- [۵]- T.C.Triantafillou- " Seismic Retrofitting using Externally Bonded Fiber Reinforced Polymers " (FRP) – University of Patras - Chapter ۵ of the first Seismic Assessment and Retrofit of RC Buildings symposium.- May ۲۰۰۵-Athens
- آقائی- حمیدرضا تقویت قابهای بتن آرمه با استفاده از پوشش‌های CFRP در برابر زلزله، دانشگاه آزاد اسلامی واحد نجف آباد، زستان ۱۳۸۵ {۶}
- [v] L.P.Ye;X.Z.Lu and J.F.Chen; "Design Proposals for The Debonding Strengths of FRP Strengthened RC Beams in The Chinese Design Code" Proceedings of the International Symposium and Bond Behavior of FRP in Structures(BBF ۲۰۰۵) Chen and Teng(eds)
- [۸] Elyasian, I; Abdoli,N;Ronagh,H "Evaluation of Parameters Effective in FRP Shear Strengthening of RC beams Using FE Method", Asian Journal of civil engineering (Building and Housing) Volv,NO۴(۲۰۰۶) pp ۲۴۹- ۲۵۷
- [۹] Kachlakov, D., Miller, T., Yim, S., Chansawat, K. and Postisuk, T., "Finite element modelling of reinforced concrete structures strengthened with FRP Laminates", Final Report SPR۱۶, Oregon Department of Transportation Research Group, May ۲۰۰۱.
- [۱۰] Alagusundaramoorthy, P., Harik, I.E. and Choo, C.C., "Shear strengthening of R/C beams wrapped with CFRP fabric", Research report KTC-۰۲-۱۷/SPR ۲۰۰-۴۴-۲F; University of Kentucky, August ۲۰۰۲, Kentucky Transportation Center.